

# 精确测量高斯光斑参数的调制盘方法

许生龙 尹达人  
(昆明物理研究所)

## 提 要

测量红外光斑在物理上和技术上都有很重要的意义。本文介绍一种精确测量高斯光斑参数的调制盘方法,它能快速和精确的测量高斯光斑参数。

假若光斑强度分布是高斯模式,当光斑扫过栅栏形调制盘时,测量频谱的峰值能精确知道高斯光斑的参数。

## 前 言

众所周知,测量线度范围极小的红外光斑,在物理上和技术上都有重要意义。L. D. Dickson<sup>[1]</sup>给出了一种测量高斯光斑参数的方法,他指出用 Ronchi 环方法(本文称之为调制盘)有快速及精确的优点,问题是他所推得的公式,要求调制盘的辐条宽度与被测光斑的参数之间,满足一确定的关系,而这个先决条件,事实上是难于办到的。本文提出测量频谱的一系列峰值,利用统计方法减少测量误差,就能获得比较满意的结果。

### 1. 红外扫描系统信号波形及其频谱的计算通式。

令目标像函数为  $q(x, y)$ , 调制盘透过函数为  $r(x, y)$ , 若调制盘(或者目标)按  $x'(t)$ ,  $y'(t)$  的规律作平移运动,则目标辐射经调制入射到探测器上的能量为:

$$p(t) = p[x'(t), y'(t)] = \iint_{-\infty}^{\infty} q(x, y) r[x-x'(t), y-y'(t)] dx dy. \quad (1)$$

对(1)式两边进行二维傅里叶变换,得到:

$$\begin{aligned} \mathcal{P}(f_x, f_y) &= \mathcal{F} p(x', y') = \iint_{-\infty}^{\infty} p(x', y') \exp[-2\pi i(f_x x' + f_y y')] dx' dy' \\ &= Q(f_x, f_y) R^*(f_x, f_y), \end{aligned} \quad (2)$$

其中  $Q(f_x, f_y) = \iint_{-\infty}^{\infty} q(x, y) \exp[-2\pi i(f_x x + f_y y)] dx dy$  为目标象函数的空间频谱。

$$R(f_x, f_y) = \iint_{-\infty}^{\infty} r(x, y) \exp[-2\pi i(f_x x + f_y y)] dx dy \quad (3)$$

为调制盘的传递函数。\*表示共轭复数。

若对(2)式进行逆变换,得:

$$p(t) = \mathcal{F}^{-1} \mathcal{P}(f_x, f_y) = \iint_{-\infty}^{\infty} Q(f_x, f_y) R^*(f_x, f_y) \exp[2\pi i(f_x x' + f_y y')] df_x df_y, \quad (4)$$

其输出频谱可表示成:

$$P(f) = \int_{-\infty}^{\infty} p(t) \exp[-2\pi i f t] dt \tag{5}$$

假定调制盘以匀速  $v_x$  直线运动(见图1)。则  $x'(t) = v_x t, y'(t) = 0$ , (4)式简化成:

$$p(t) = \iint_{-\infty}^{\infty} Q(f_x, f_y) R^*(f_x, f_y) \exp(2\pi i f_x v_x t) df_x df_y, \tag{6}$$

其频谱为:

$$\begin{aligned} P(f) &= \iiint_{-\infty}^{\infty} Q(f_x, f_y) R^*(f_x, f_y) \exp[2\pi i (f_x v_x - f) t] df_x df_y dt \\ &= \frac{1}{v_x} \int_{-\infty}^{\infty} Q(f/v_x, f_y) R^*(f/v_x, f_y) df_{v_0} \end{aligned} \tag{7}$$

### 2. 高斯光斑对栅栏型调制盘扫描的输出频谱

假定待测光斑的强度分布为:

$$q(x, y) = \frac{I_0}{2\pi\beta^2} \exp[-(x^2 + y^2)/2\beta^2], \tag{8}$$

如图2所示。令  $r_0^2 = x^2 + y^2 = 2\beta^2$ , 根据计算, 在半径为  $r_0$  的小圆范围内, 集中了全部能量的63.2%。我们称  $\beta^2$  为高斯光斑的结构参数, 它决定着光斑的弥散程度。

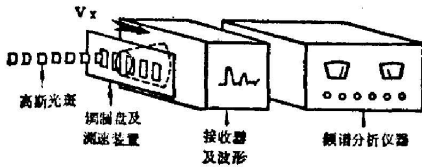


图1 红外接收示意图

Fig. 1 Diagram of infrared detection

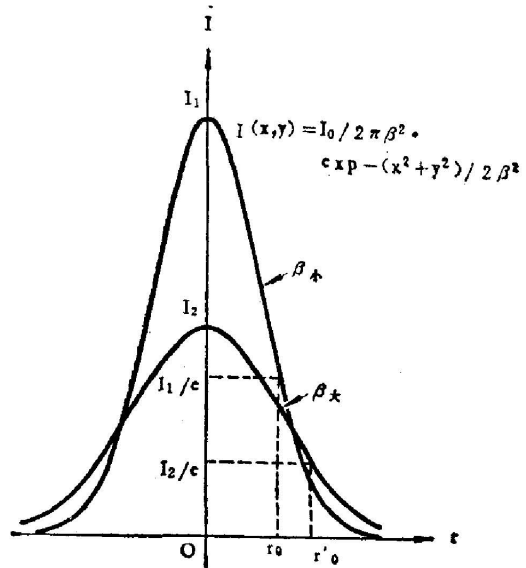


图2 光斑的强度分布

Fig. 2 Intensity profile of the spot

对(8)式进行二维傅里叶变换, 得到目标的空间频谱为:

$$Q(f_x, f_y) = I_0 \exp[-2\pi^2\beta^2(f_x^2 + f_y^2)], \tag{9}$$

假定调制盘是  $n$  个相距为  $2a$  的  $a \times b$  栅栏形调制盘(见图3)。其透过函数为:

$$\tau(x, y) = \begin{cases} 1 & \text{当 } -b/2 \leq y \leq b/2, \\ x_0 + 2ka - a/2 \leq x \leq x_0 + 2ka + a/2, \\ & k = 0, 1, 2, \dots, n-1, \\ 0 & \text{其余情况,} \end{cases} \tag{10}$$

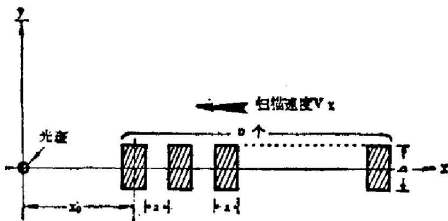


图3 光斑的扫描方式及调制盘

Fig. 3 Spot scanning regime and modulation disc

其传递函数为:

$$R(f_x, f_y) = \frac{\sin(2na\pi f_x) \sin(\pi b f_y)}{2\pi^2 f_x f_y \cos(\pi a f_x)} \exp\{-2\pi i f_x [x_0 + (n-1)a]\} \tag{11}$$

把(9), (11)式代入(7)式,可求得输出频谱为:

$$P(f) = \frac{I_0}{\pi f} \frac{\sin(2na\pi f/v_x)}{\cos(\pi f a/v_x)} \exp[-2\pi^2\beta^2 f^2/v_x^2] e^{-i\phi_0} \operatorname{erf}\left(\frac{b}{2\sqrt{2}\beta}\right), \quad (12)$$

其中 
$$\phi_0 = \frac{2\pi f}{v_x} [x_0 + (n-1)a], \quad \operatorname{erf}(x) = \frac{2}{\sqrt{\pi}} \int_0^x e^{-y^2} dy.$$

当  $n=6$  时输出频谱如图 4 所示。

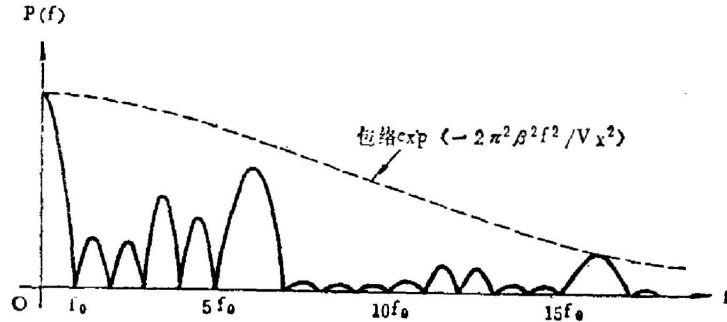


图 4 频谱  $P(f)$  及其包络  $e^{-2\pi^2\beta^2 f^2/v_x^2}$  ( $n=6$  情况)

Fig. 4 Spectrum  $P(f)$  and its envelope  $e^{-2\pi^2\beta^2 f^2/v_x^2}$  ( $n=6$ )

分析(12)式可以看出, 频谱  $P(f)$  由四部分组成: (1) 包络项  $\exp[-2\pi^2\beta^2 f^2/v_x^2]$ ; (2) 调制函数  $\frac{1}{f} \frac{\sin(2na\pi f/v_x)}{\cos(\pi f a/v_x)}$ ; (3) 相位项  $e^{-i\phi_0}$ ; (4) 常数项  $\frac{I_0}{\pi} \operatorname{erf}\left(\frac{b}{2\sqrt{2}\beta}\right)$ 。对测量而言, 重要的是前两部分, 而高斯光斑的结构参数  $\beta^2$  主要出现在包络项上。调制函数则是一振荡较快的周期函数, 它在包络项的限制下给出一系列的峰值。若能实际测量出  $P(f)$  的一组峰值, 就可推算出高斯光斑的结构参数  $\beta^2$ 。

### 3. 频谱分析: 零值点和峰值点

对于(12)式取绝对值, 并令:  $\eta = 2\pi^2\beta^2/v_x^2$ ,  $A = \frac{I_0}{\pi} \operatorname{erf}\left(\frac{b}{2\sqrt{2}\beta}\right)$ ,

得: 
$$|P(f)| = A \left| \frac{\sin(2na\pi f/v_x)}{f \cos(\pi f a/v_x)} \right| e^{-\eta f^2}.$$

(I) 谱的零值点。

让  $\sin(2na\pi f/v_x) = 0$ , 并除掉

$$f \cos(\pi f a/v_x) = 0 \quad (13)$$

成立的点。故零值点为:

$$f = f_0, 2f_0, \dots, (n-1)f_0, (n+1)f_0, \dots, (3n-1)f_0, (3n+1)f_0, \quad (14)$$

其中  $f_0 = \frac{v_x}{2na}$ 。不难看出, 零值点的间隔一般为  $f_0$ , 但在(13)式成立的点上, 其间隔为  $2f_0$ 。

(II) 谱的峰值点。

峰值点  $f_k$  可表示为主要项  $f_k$  加上修正项  $\varepsilon_k$ :

$$f_k = f_k + \varepsilon_k, \quad (15)$$

其中

$$f_k = 0, \frac{3}{2}f_0, \frac{5}{2}f_0, \dots, \frac{2n-3}{2}f_0, \frac{2n}{2}f_0, \frac{2n+3}{2}f_0, \dots, \frac{6n-3}{2}f_0, \frac{6n}{2}f_0, \frac{6n+3}{2}f_0, \dots, \quad (16)$$

而

$$\varepsilon_k = \frac{v_x}{\pi a} \frac{\operatorname{tg}(\pi a f_{k_0}/v_x) - \frac{v_x}{\pi a f_{k_0}}}{4n^2 - 1 - \frac{v_x^2}{\pi^2 a^2 f_{k_0}^2} - \operatorname{tg}^2(\pi a f_{k_0}/v_x)} \quad (17)$$

分析  $\varepsilon_k$  表达式(17)可知, 在  $f_{k_0}=0, nf_0, 3nf_0, \dots$  处,  $\varepsilon_k=0$ , 显然这些点也就是满足方程(13)式的点。我们把使  $\varepsilon_k=0$  成立的峰值点称为“主峰值点”, 而把  $\varepsilon_k \neq 0$  的峰值点称为“一般峰值点”, 其理由是调制函数  $\frac{1}{f} \frac{\sin(2na\pi f/v_x)}{\cos(\pi a f/v_x)}$  在“主峰值点”上的值要大于它周围的“一般峰值点”上的值(见图4)。

调制函数在主峰值点上的值为:

$$\left. \frac{\sin(2na\pi f/v_x)}{f \cos(\pi a f/v_x)} \right|_{f=0} = 2na\pi/v_x,$$

$$\left. \frac{\sin(2na\pi f/v_x)}{f \cos(\pi a f/v_x)} \right|_{f=Nf_0} = \frac{4na}{Nv_x} \quad (\text{其中 } N=1, 3, 5, \dots)。$$

而在一般峰值点上的值为:

$$\left. \frac{\sin(2na\pi f/v_x)}{f \cos(\pi a f/v_x)} \right|_{f=f_k} = \frac{\cos(2na\pi \varepsilon_k/v_x)}{f_{k_0} \cos(\pi a f_{k_0}/v_x)}。$$

由图4可以看出: 前面几个一般峰值点上的值并不小, 它们完全可同主峰值相比较, 例如第2个峰到第5个峰与第15个峰相比较。因此需要全盘考虑所有峰值点的贡献, 并从中检测出我们需要的  $\beta^2$  的信息, 这就是本文利用统计方法检测  $\beta^2$  的原由。

#### 4. 高斯光斑参数 $\beta^2$ 的统计检测

光斑参数  $\beta^2$  的检测, 最简单的办法是在  $f = \frac{v_x}{2a}$  处测幅值,  $\beta$  增加, 幅值减少,  $\beta$  减少, 幅值增加。这一方法精度不高。我们提出用统计检测的方法。

首先我们来讨论函数  $y = Be^{-\eta x^2}$  的最佳逼近。令  $z = \log y = \log B - \eta x^2$ ,  $\xi = \log B$ 。则  $z = \xi - \eta x^2$ 。

设给定一组实际测量值  $(x_k, z_k)$ ,  $k=1, 2, \dots, M$ , 希望从中检测出最佳的  $\xi, \eta$  值。假定这组测量值是彼此独立和平权的, 利用最小二乘法, 可求得:

$$\xi = \frac{\langle x^4 \rangle \langle z \rangle - \langle x^2 \rangle \langle x^2 z \rangle}{\langle x^4 \rangle - \langle x^2 \rangle^2}, \quad \eta = \frac{\langle x^2 \rangle \langle z \rangle - \langle x^2 z \rangle}{\langle x^4 \rangle - \langle x^2 \rangle^2} \quad (18)$$

其中:

$$\langle x^2 \rangle = \frac{1}{M} [x_1^2 + x_2^2 + \dots + x_M^2], \quad \langle x^4 \rangle = \frac{1}{M} [x_1^4 + x_2^4 + \dots + x_M^4],$$

$$\langle x^2 z \rangle = \frac{1}{M} [x_1^2 z_1 + x_2^2 z_2 + \dots + x_M^2 z_M], \quad \langle z \rangle = \frac{1}{M} [z_1 + z_2 + \dots + z_M]。$$

为了求出高斯光斑结构参数  $\beta^2$ , 只需分析  $\eta$ 。

在测量输出频谱的过程中, 由于仪器精度、实验误差、外界干扰等偶然因素, 多次重复测量不可能都获得同一值。即是说实验值本身还有某种不确定性, 用数学语言表示, 指实验值介于某一小矩形区域内:

$$x_k - \Delta x_k \leq x_k \leq x_k + \Delta x_k, \quad y_k - \Delta y_k \leq y_k \leq y_k + \Delta y_k。$$

我们称  $(x_{k_0}, y_{k_0})$  为测量中心值,  $(\Delta x_k, \Delta y_k)$  为围绕中心值的误差起伏(见图 5)。于是得到:

$$z_{k_0} - \Delta z_k \leq z_k \leq z_{k_0} + \Delta z_k, \quad z_{k_0} = \log y_{k_0}, \quad \Delta z_k = \left| \frac{\Delta y_k}{y_{k_0}} \right|。 \quad (19)$$

把(19)式代入(18)式后展开, 得到  $\eta_0$  的中心值为:

$$\eta_0 = \frac{\langle x_0^2 z_0 \rangle - \langle x_0^2 \rangle \langle z_0 \rangle}{\langle x_0^4 \rangle - \langle x_0^2 \rangle^2}。 \quad (20)$$

而  $\eta$  的相对起伏率为:

$$\left| \frac{\Delta \eta}{\eta_0} \right| \leq 2\sqrt{\langle x_0^2 \rangle} \left\{ \frac{\sqrt{\langle z_0^2 \rangle} - \langle z_0 \rangle}{\langle x_0^2 z_0 \rangle - \langle x_0^2 \rangle \langle z_0 \rangle} + \frac{2 \left( \langle x_0^2 \rangle + \sqrt{\frac{\langle x_0^4 \rangle}{\langle x_0^2 \rangle}} \right)}{\langle x_0^4 \rangle - \langle x_0^2 \rangle^2} \right\} \sigma_x + \frac{\sqrt{\langle x_0^4 \rangle} + \langle x_0^2 \rangle}{\langle x_0^2 z_0 \rangle - \langle x_0^2 \rangle \langle z_0 \rangle} \sigma_z, \quad (21)$$

其中

$$\sigma_x = \left[ \frac{\Delta x_1^2 + \Delta x_2^2 + \dots + \Delta x_M^2}{M} \right]^{1/2},$$

$$\sigma_z = \left[ \frac{\Delta z_1^2 + \Delta z_2^2 + \dots + \Delta z_M^2}{M} \right]^{1/2}。$$

由此可见  $\eta$  的中心值仅取决于测量中心值  $(x_{k_0}, y_{k_0})$ , 与误差起伏  $(\Delta x_k, \Delta y_k)$  无关, 而  $\eta$  的相对起伏率却与  $\Delta x_k, \Delta y_k$  有关, 它的大小决定着测量结果的精确度。

将前述的理论应用于频谱公式上:

$$|P(f)| = A \left| \frac{\sin(2na\pi f/v_x)}{f \cos(\pi a f/v_x)} \right| \exp \left[ -\frac{2\pi^2 \beta^2}{v_x^2} f^2 \right]$$

由于调制函数  $\left| \frac{\sin(2na\pi f/v_x)}{f \cos(\pi a f/v_x)} \right|$  中的参数  $n, a, v_x$  假定都是已知的, 与我们需求的  $\beta^2$  无关, 因此输出频谱中零值频率和峰值频率都是已知的。设峰值频率为  $f_k = f_{k_0} + \Delta f_k$ , 并在此峰值频率上测得谱值为:

$$P_k = P_{k_0} \pm \Delta P_k,$$

其中  $P_{k_0}$ ——测量得到的峰值的中心值,  $\Delta P_k$ ——峰值测量误差,  $f_{k_0}$ ——中心频率,  $\Delta f_k$ ——测量带宽, 得到:

$$P_{k_0} \pm \Delta P_k = A \left| \frac{\sin(2na\pi f_k/v_x)}{f_k \cos(\pi a f_k/v_x)} \right| \exp \left[ -\frac{2\pi^2 \beta^2}{v_x^2} f_k^2 \right] \quad (k=1, 2, 3, \dots, M)。$$

令

$$z_k = \log [P_{k_0} \pm \Delta P_k] + \log \left| \frac{f_k \cos(\pi a f_k/v_x)}{\sin(2na\pi f_k/v_x)} \right|,$$

得到:

$$z_{k_0} = \log P_{k_0} + \log |f_{k_0} \cos(\pi a f_{k_0}/v_x)|,$$

$$\Delta z_k \leq \left| \frac{\Delta P_k}{P_{k_0}} \right| + \left| \frac{v_x}{\pi a f_{k_0}} - \operatorname{tg}(\pi a f_{k_0}/v_x) \right| |\varepsilon_k|,$$

其中  $f_{k_0}, \varepsilon_k$  之值见(16)式和(17)式。

由于

$$z_k = z_{k_0} \pm \Delta z_k,$$

得到:

$$\beta_0^2 = \frac{v_x^2}{2\pi^2} \frac{\langle f_0^2 z_0 \rangle - \langle f_0^2 \rangle \langle z_0 \rangle}{\langle f_0^4 \rangle - \langle f_0^2 \rangle^2},$$

而  $\beta^2$  的起伏率为:

$$\left| \frac{\Delta \beta^2}{\beta_0^2} \right| \leq \frac{2\langle f_0^2 \rangle}{\langle f_0^2 z_0 \rangle - \langle f_0^2 \rangle \langle z_0 \rangle} \sigma_z + 2\sqrt{\langle f_0^2 \rangle} \left\{ \frac{\sqrt{\langle z_0^2 \rangle} - \langle z_0 \rangle}{\langle f_0^2 z_0 \rangle - \langle f_0^2 \rangle \langle z_0 \rangle} + \frac{4\langle f_0^2 \rangle}{\langle f_0^4 \rangle - \langle f_0^2 \rangle^2} \right\} \sigma_f。$$

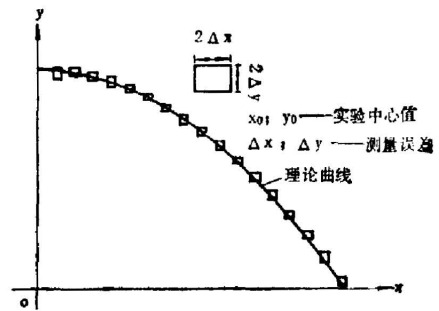


图 5 实验值与最佳理论曲线

Fig. 5 Experimental value and optimized theoretical curves

据(14)式:  $f_0 = \frac{v_z}{2na}$ , 我们称  $f_0$  为“单位带宽”。它表征着对测量系统的频率分辨率的具体要求, 即是说, 我们使用的频谱分析仪的频率分辨率  $\Delta f$  必须小于  $\frac{f_0}{2}$ , 否则测量结果无意义(见图 6)。

假定实验从小到大顺序测量了  $M$  个点, 则可算出:

$$\langle f_0^2 \rangle = \frac{f_0^2}{3} \left( M^2 - \frac{1}{4} \right) - \frac{f_0^2}{6n} (M^2 - n^2) - \frac{f_0^2}{4} \left( \frac{1}{M} + \frac{1}{n} \right), \quad (22)$$

$$\begin{aligned} \langle f_0^4 \rangle = & \frac{f_0^4}{5} \left( M^2 - \frac{1}{4} \right) \left( M^2 - \frac{7}{12} \right) \\ & - \frac{f_0^4}{10n} (M^2 - n^2) \left( M^2 - \frac{7}{3} n^2 + 5 \right) - \frac{f_0^4}{16} \left( \frac{1}{n} + \frac{1}{M} \right), \end{aligned} \quad (23)$$

$$\begin{aligned} \langle f_0^4 \rangle - \langle f_0^2 \rangle^2 = & \frac{4}{45} f_0^4 \left( M^2 - \frac{1}{4} \right) (M^2 - 1) + \frac{f_0^4}{90n} (M^2 - n^2) \left( M^2 + 21n^2 - \frac{95}{2} \right) \\ & + \frac{f_0^4}{6} \left( M^2 - \frac{5}{8} \right) \left( \frac{1}{M} + \frac{1}{n} \right) - \frac{f_0^4}{3n} \left( \frac{1}{3n} + \frac{1}{4M} \right) (M^2 - n^2) + \frac{f_0^4}{16} \left( \frac{1}{M} + \frac{1}{n} \right)^2, \end{aligned} \quad (24)$$

$$\sigma_f = \sqrt{\langle \Delta f^2 \rangle} = \frac{\sqrt{2} v_z}{(4n^2 - 1) \pi a} = \frac{2n\sqrt{2}}{\pi(4n^2 - 1)} f_0, \quad (25)$$

$$\sigma_f / f_0 = \frac{2\sqrt{2}n}{\pi(4n^2 - 1)}. \quad (26)$$

从(26)式可看出, 当调制盘辐条数  $n$  增加,  $\sigma_f / f_0$  将减小,  $\beta^2$  的起伏率降低, 这意味着这样测得的  $\beta^2$  可得较高精度。

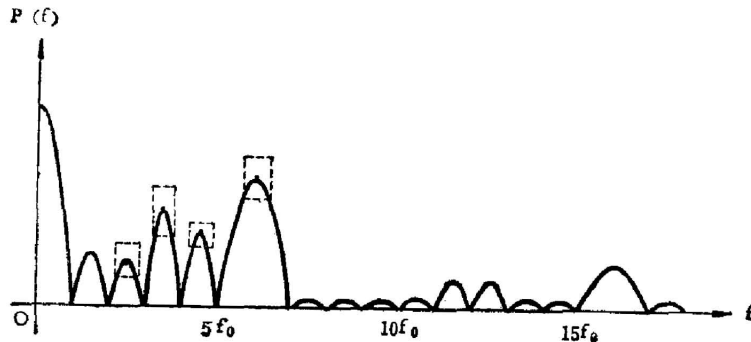


图 6 峰值频率上的测量值

Fig. 6 The measurement values at peak frequency

### 5. 若速度 $v_z$ 未知时, 高斯光斑参数 $\beta^2$ 的检测

在前面的论述中, 我们假定速度  $v_z$  是已知的。假若  $v_z$  未知时, 我们可以通过测量峰值频率, 首先来推算速度  $v_z$ 。

测速最简单的办法可测主峰值点的移动, 但这一方法精度不高。要使测量精度较高, 可用下列方法。

分析峰值频率的表示式(15)式, 不难看出, 峰值之间的间隔, 大部分等于  $f_0$ , 小部分等于  $\frac{3}{2} f_0$ 。如果实验上测定一组峰值频率, 则可算出它们之间的间隔。这组间隔可分为数值

彼此相近的两组:

$$\begin{aligned} f'_2 - f'_1; f'_3 - f'_2; f'_4 - f'_3; \dots \\ f''_2 - f''_1; f''_4 - f''_3; f''_6 - f''_5; \dots \end{aligned}$$

分别对它们求算术平均:  $\langle f'_2 - f'_1 \rangle$ ,  $\langle f''_2 - f''_1 \rangle$  和标准误差  $\delta_{f'}$ ,  $\delta_{f''}$ 。上面两组平均值对应着:

$\langle f'_2 - f'_1 \rangle \simeq f_0$ ,  $\langle f''_2 - f''_1 \rangle \simeq 3/2 f_0$ ,  $\langle f''_2 - f''_1 \rangle / \langle f'_2 - f'_1 \rangle = 3/2$ , 即是说, 调制盘(或光斑)若是匀速运动, 上面最后一个式子就是它的实验判据, 并由此获得:

$$v_z = na [\langle f'_2 - f'_1 \rangle + 2 \langle f''_2 - f''_1 \rangle / 3]。 \quad (27)$$

测速的标准误差  $\delta_{v_z}$  为:

$$\delta_{v_z} = na [\delta_{f'} + 2\delta_{f''}/3]。 \quad (28)$$

知道了扫描速度就可根据上面第四节推算出光斑参数  $\beta^2$ 。

## 小 结

本文采用调制盘的方法, 测量输出频谱一系列峰值, 来推算高斯光斑的结构参数。由于测量误差的随机性, 统计平均后可获得较为精确的结果。在实际工作中, 峰值频率可由计算得到, 只需测量频谱峰值, 故简化了设备, 节省了工作量。

作者对杨亚文同志的帮助表示致谢。

## 参 考 文 献

- [1] L. D. Dickson; *Opt. Engng*, 1979, 18, No. 1 (Jan), 70.

## A reticle method for exactly measuring Gaussian optical spot parameter

XU SHENLONG AND YIN DAREN

(*Kunming Institute of Physics*)

(Received 9 January 1981)

### Abstract

Measurement of IR optical spot is of great importance to physics and technology. In this paper, we present a reticle method for exactly measuring Gaussian optical spot parameter. Reticle method may be used for fast, accurate measurement of Gaussian optical spot parameter.

Suppose the brightness of a spot is a Gaussian model, when optical spot scans over the bars reticle, the parameter of Gaussian optical spot can be exactly known with measuring peak value of frequency spectrum.